

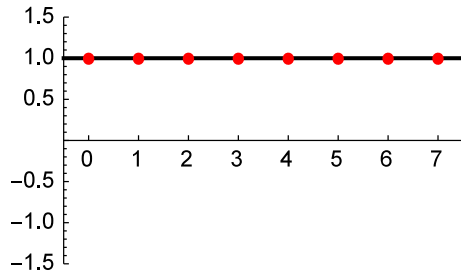
# 1D DCT & IDCT

$$C(u) = \alpha(u) \sum_{x=0}^{N-1} f(x) \cos \frac{(2x+1)u\pi}{2N}$$

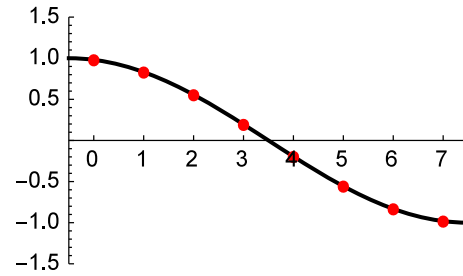
$$f(x) = \sum_{u=0}^{N-1} \alpha(u) C(u) \cos \frac{(2x+1)u\pi}{2N}$$

$$\alpha(u) = \begin{cases} \sqrt{1/N} & \text{for } u=0 \\ \sqrt{2/N} & \text{for } u=1,2,\dots,N-1 \end{cases}$$

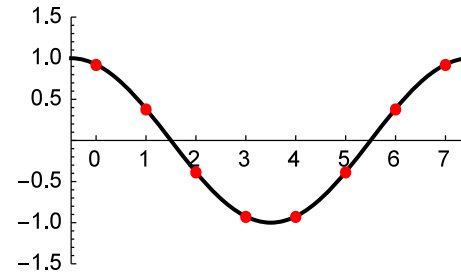
# 1D DCT



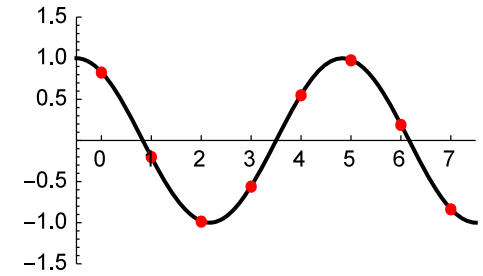
$u=0$



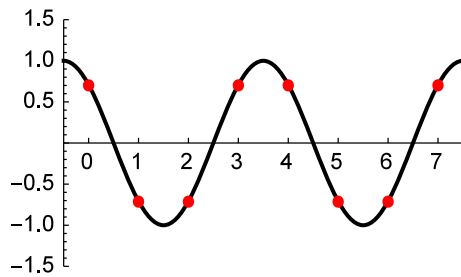
$u=1$



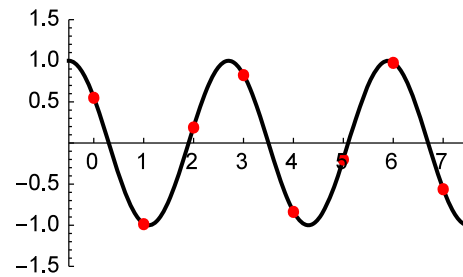
$u=2$



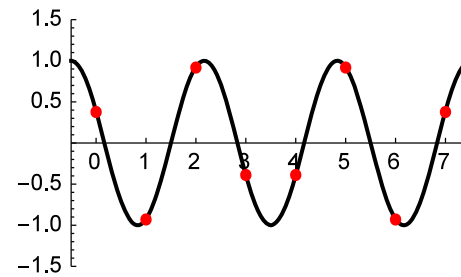
$u=3$



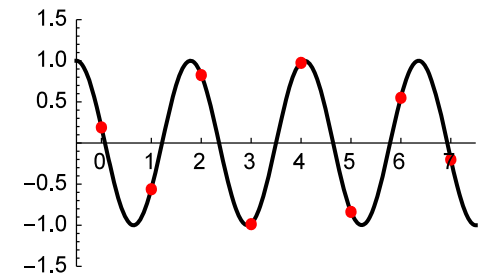
$u=4$



$u=5$

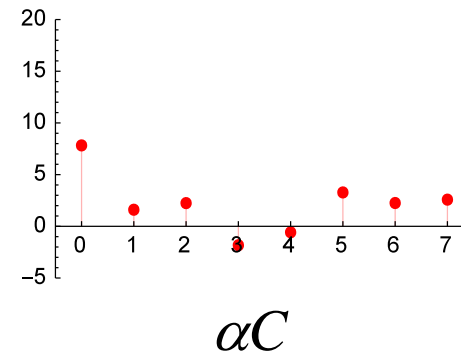
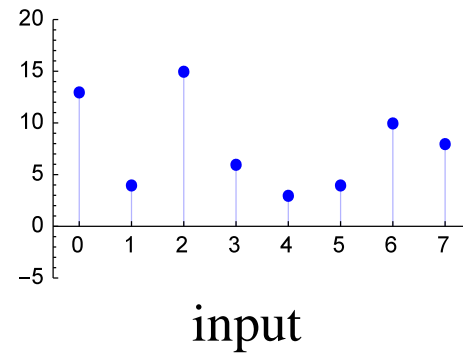


$u=6$

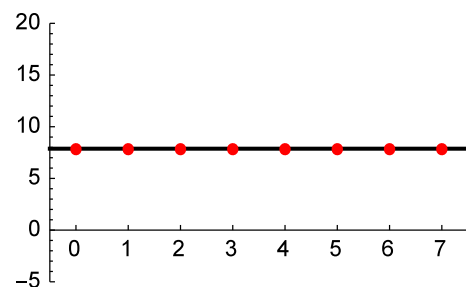


$u=7$

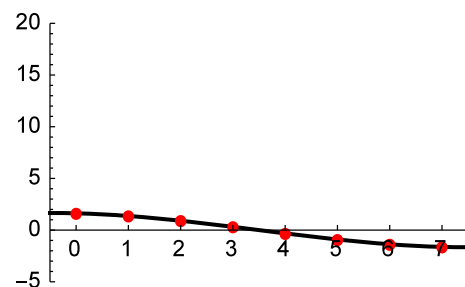
# 1D DCT



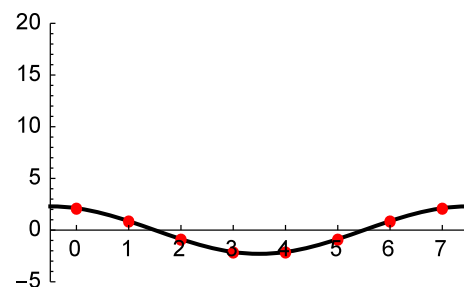
# 1D DCT



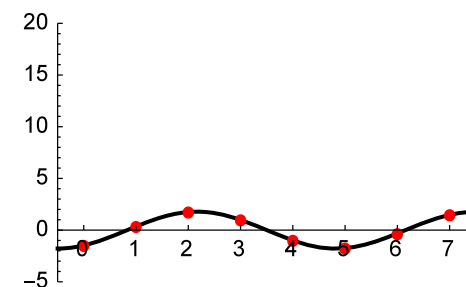
$u=0$



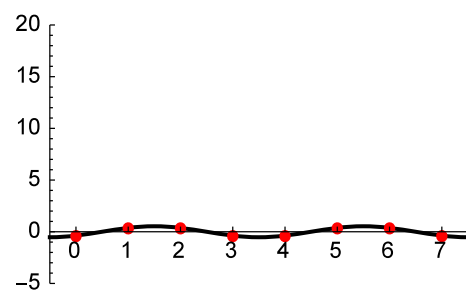
$u=1$



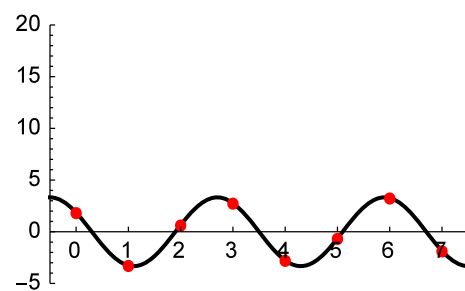
$u=2$



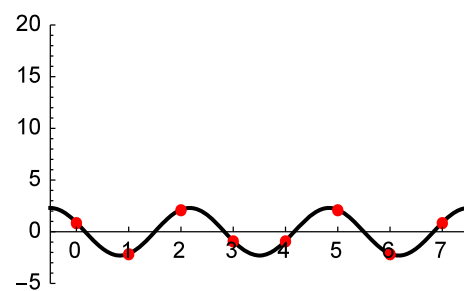
$u=3$



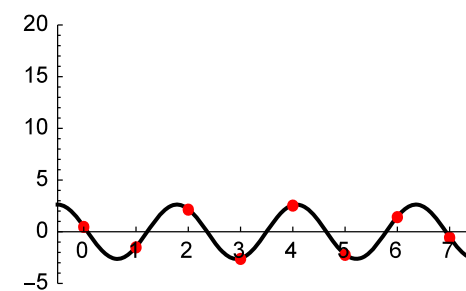
$u=4$



$u=5$

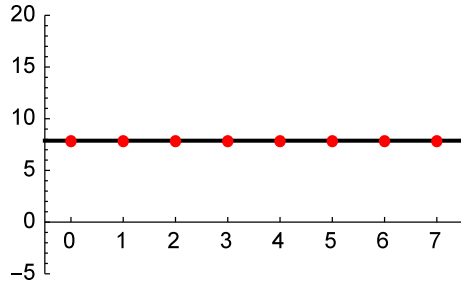


$u=6$

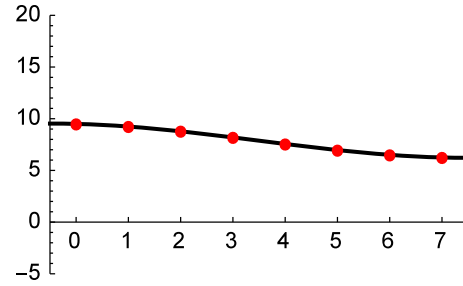


$u=7$

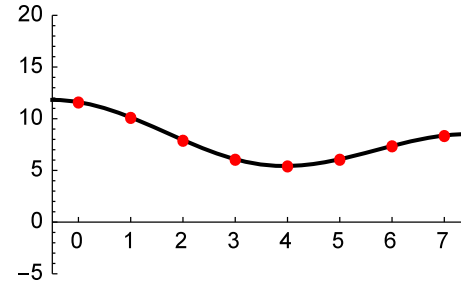
# 1D IDCT



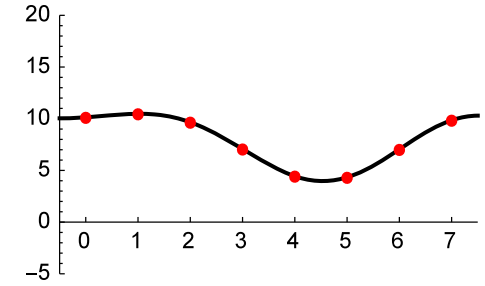
$u=0$



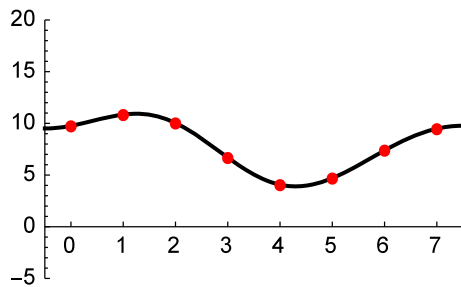
$u=0:1$



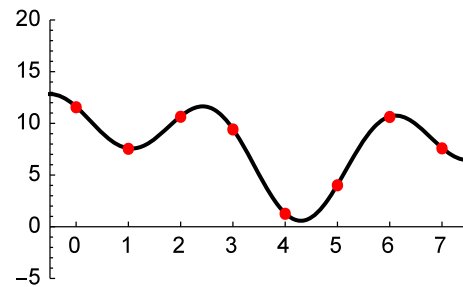
$u=0:2$



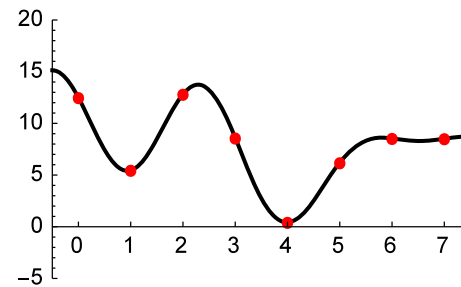
$u=0:3$



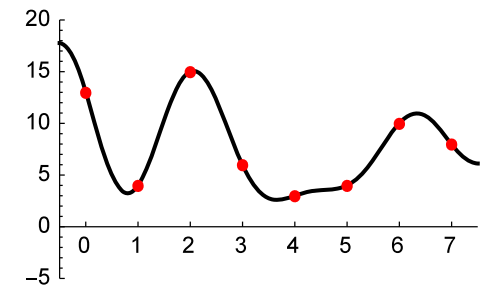
$u=0:4$



$u=0:5$

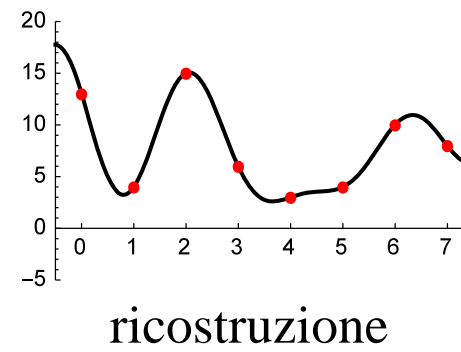
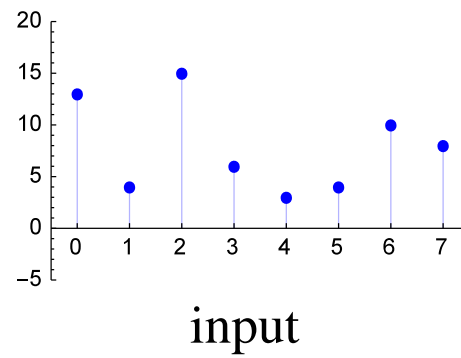


$u=0:6$



$u=0:7$

# 1D DCT



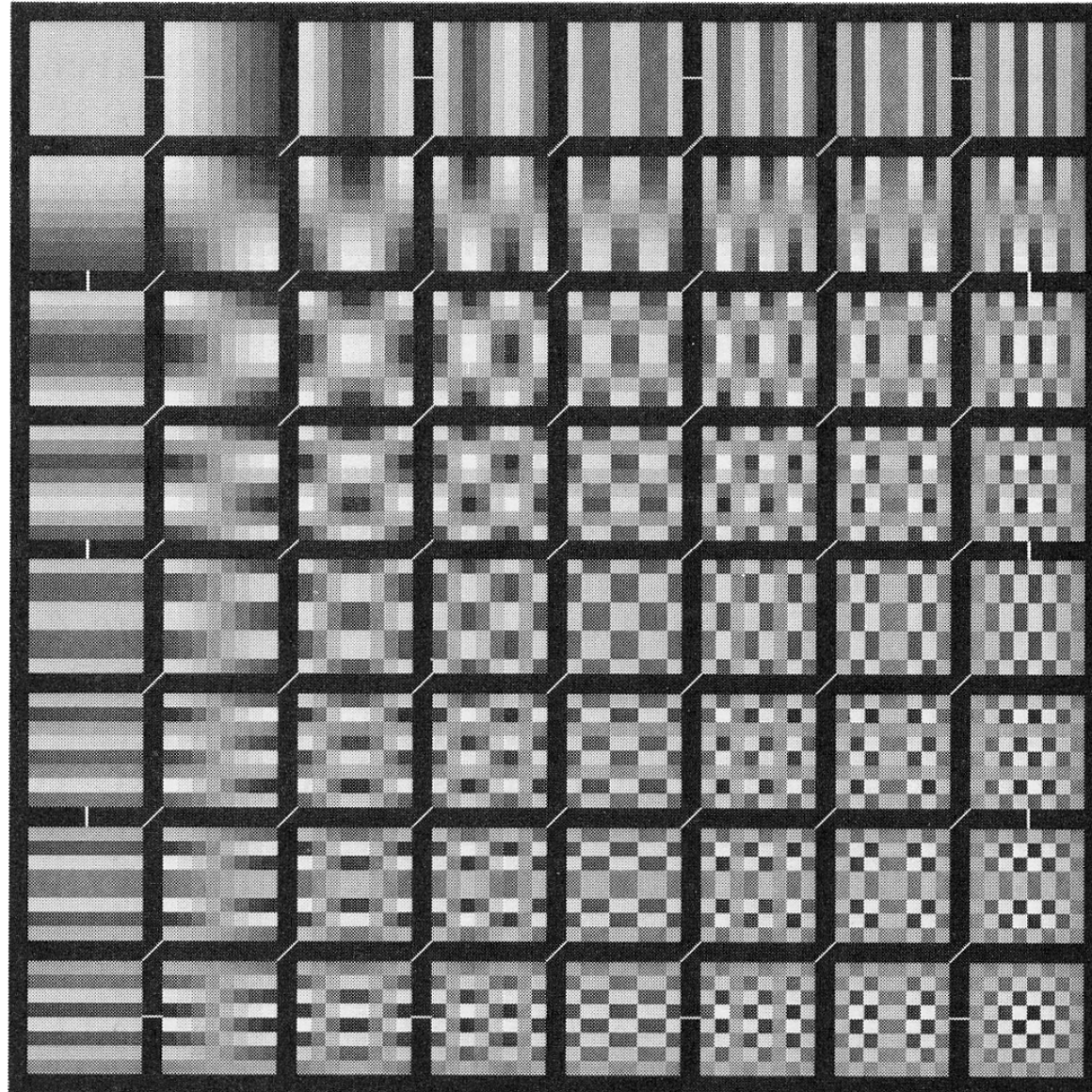
## 2D DCT & IDCT

$$C(u,v) = \alpha(u)\alpha(v) \sum_{x=0}^{N-1} \sum_{y=0}^{N-1} f(x,y) \cos\left(\frac{(2x+1)u\pi}{2N}\right) \cos\left(\frac{(2y+1)v\pi}{2N}\right)$$

$$f(x,y) = \sum_{u=0}^{N-1} \sum_{v=0}^{N-1} \alpha(u)\alpha(v) C(u,v) \cos\left(\frac{(2x+1)u\pi}{2N}\right) \cos\left(\frac{(2y+1)v\pi}{2N}\right)$$

$$\alpha(u) = \begin{cases} \sqrt{1/N} & \text{for } u=0 \\ \sqrt{2/N} & \text{for } u=1,2,\dots,N-1 \end{cases}$$

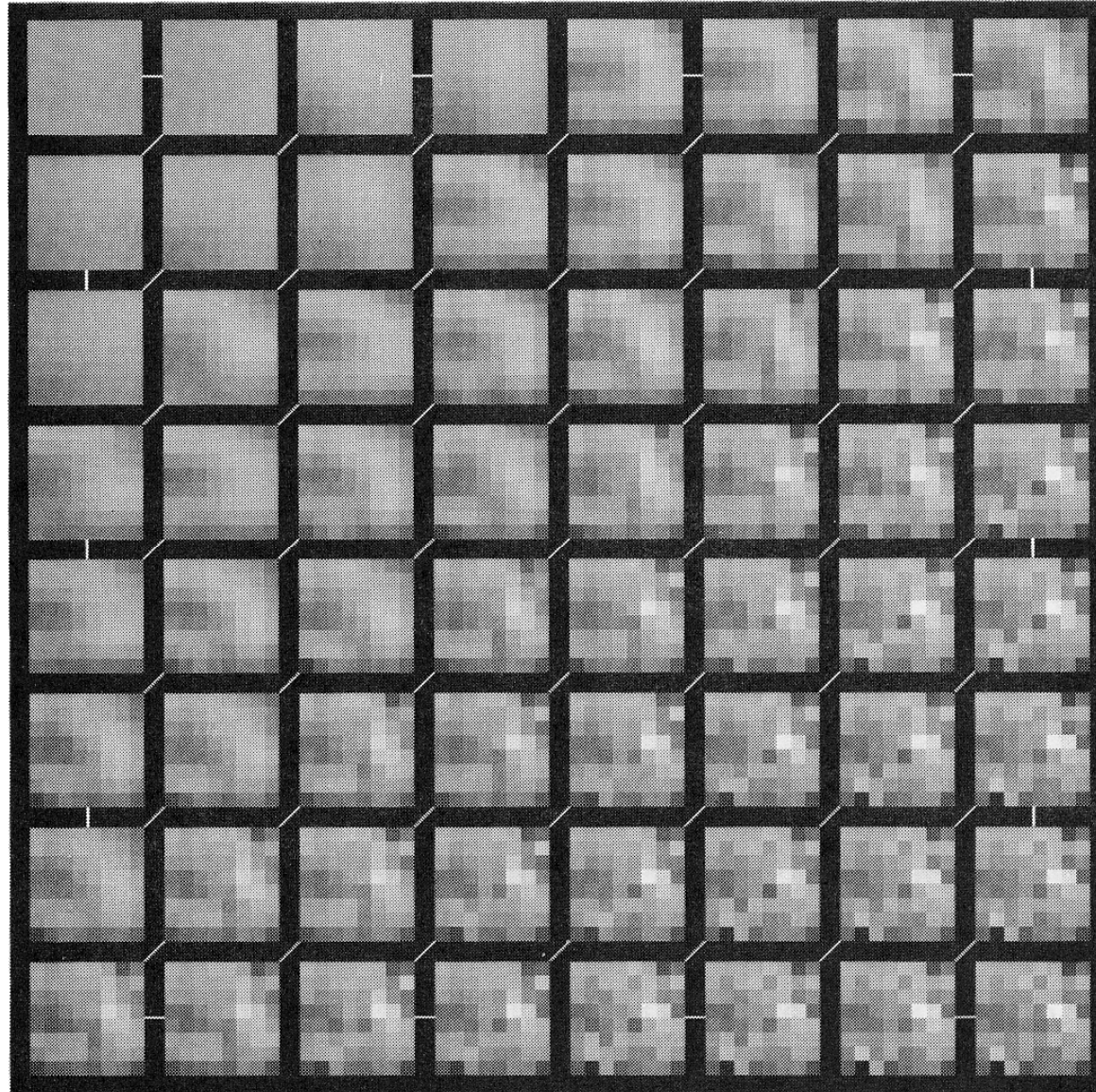
# 2D DCT



DCT basis

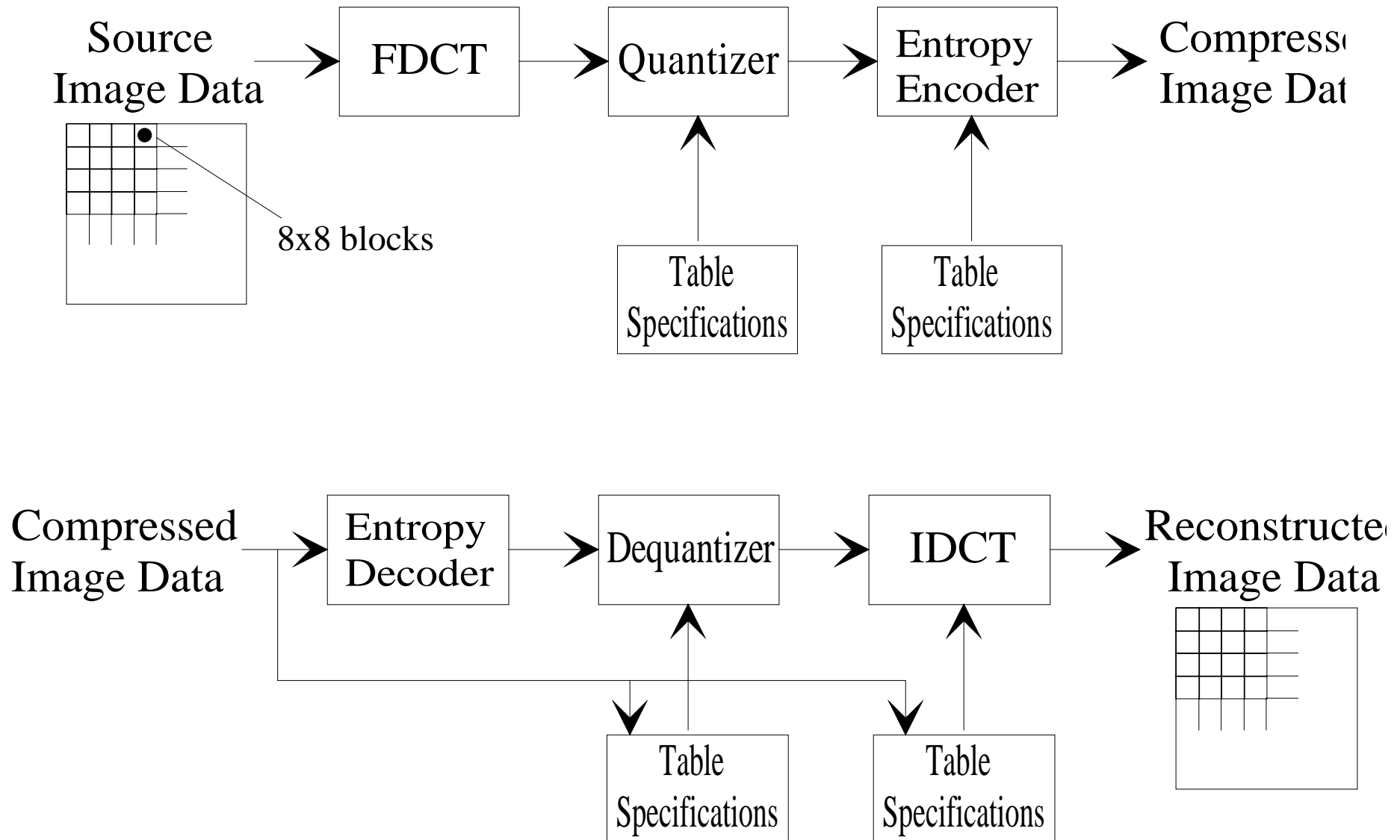


# 2D DCT



DCT reconstruction

# JPG (Encoding & Decoding)



# JPG

luminance

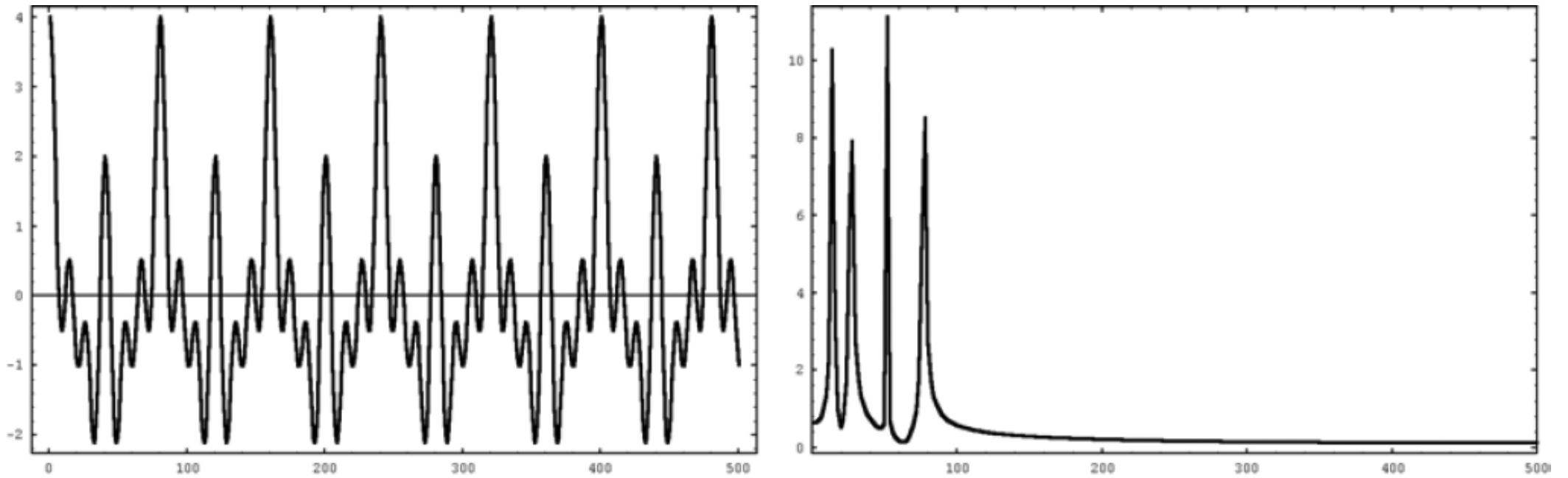
16	11	10	16	24	40	51	61
12	12	14	19	26	58	60	55
14	13	16	24	40	57	69	56
14	17	22	29	51	87	80	62
18	22	37	56	68	109	103	77
24	35	55	64	81	104	113	92
49	64	78	87	103	121	120	101
72	92	95	98	112	100	103	99

chrominance

17	18	24	47	99	99	99	99
18	21	26	66	99	99	99	99
24	26	56	99	99	99	99	99
47	66	99	99	99	99	99	99
99	99	99	99	99	99	99	99
99	99	99	99	99	99	99	99
99	99	99	99	99	99	99	99
99	99	99	99	99	99	99	99

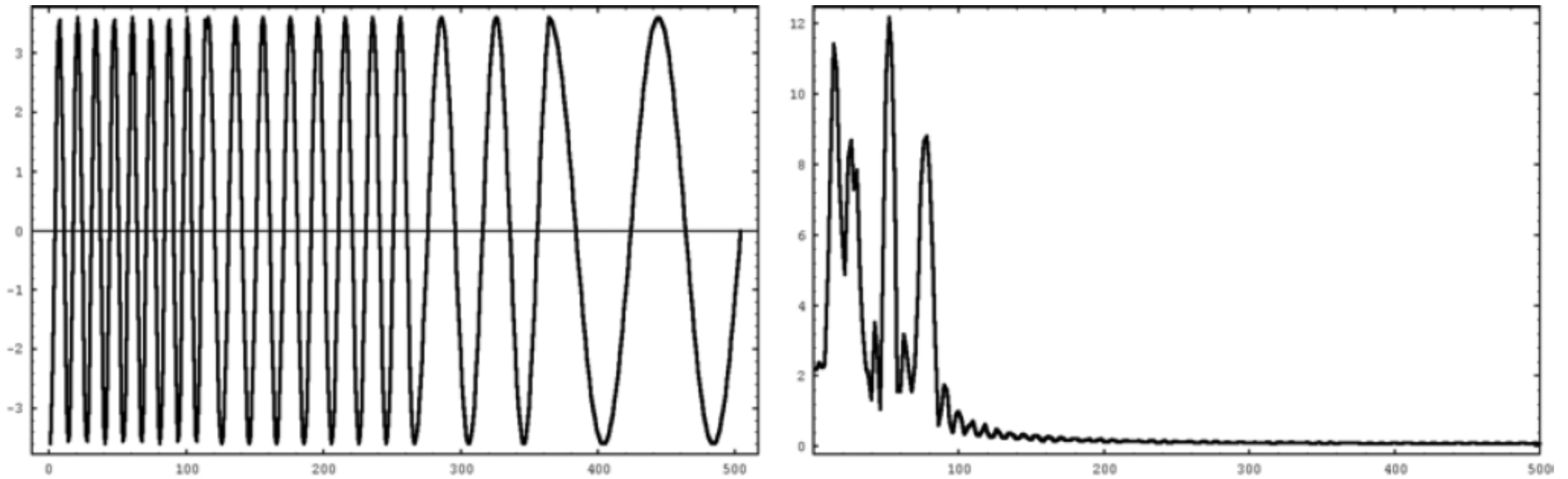
Standard quantization tables

# DCT



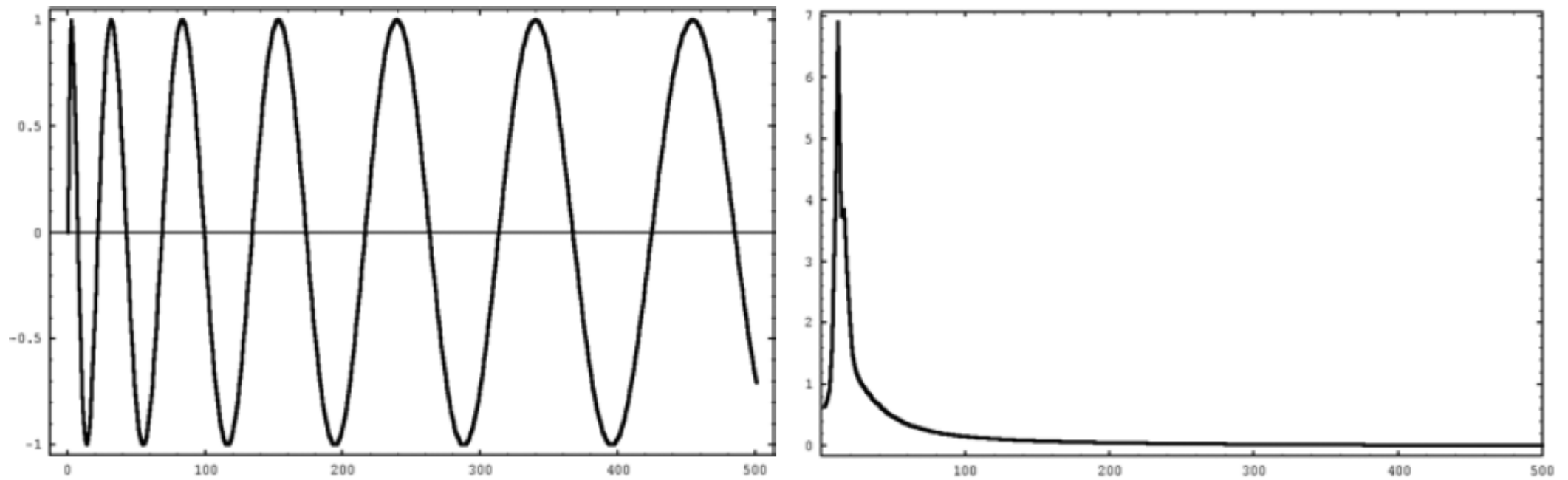
Un segnale stazionario e la sua trasformata di Fourier

# DCT



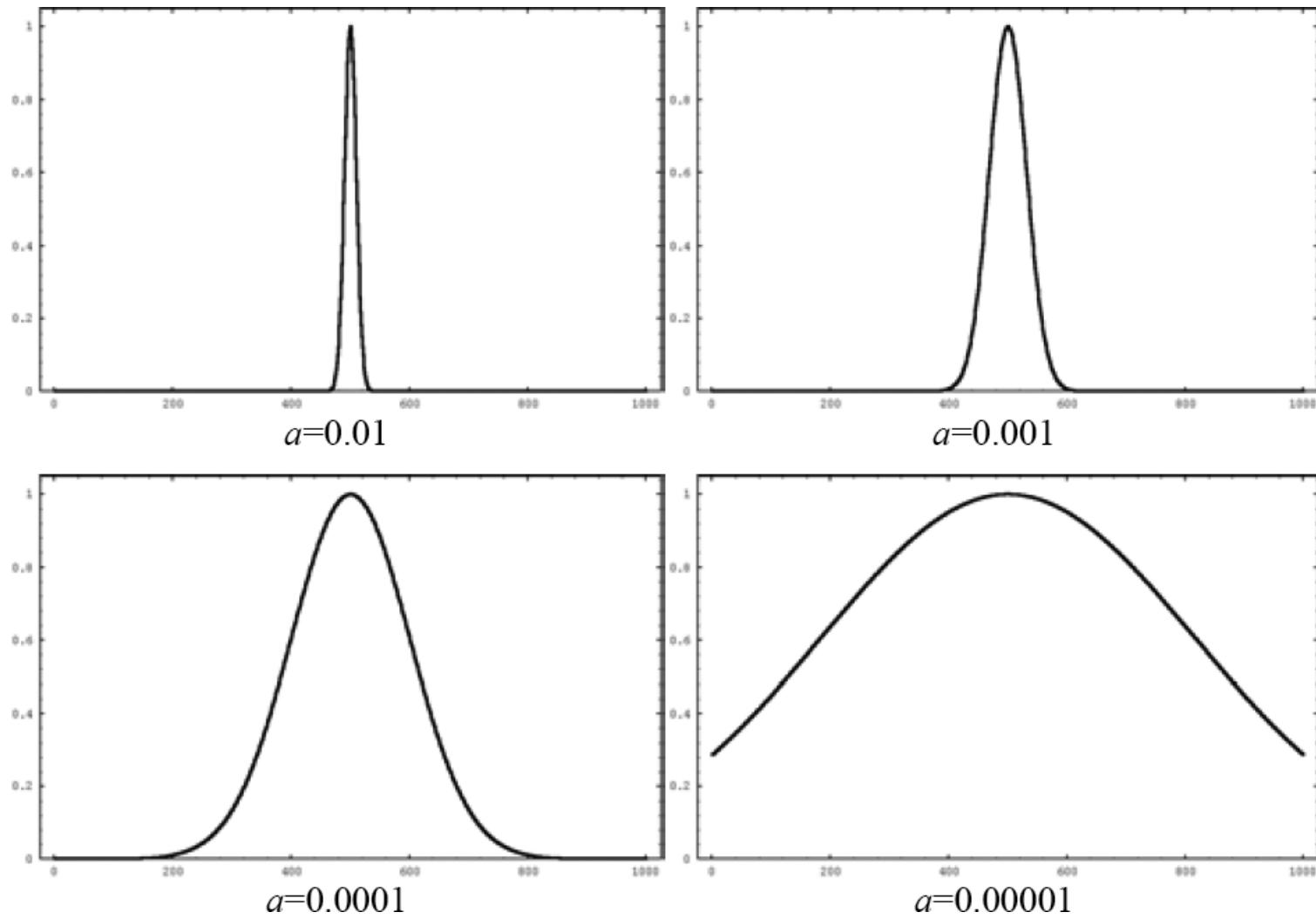
Un segnale composto e la sua trasformata di Fourier

# DCT

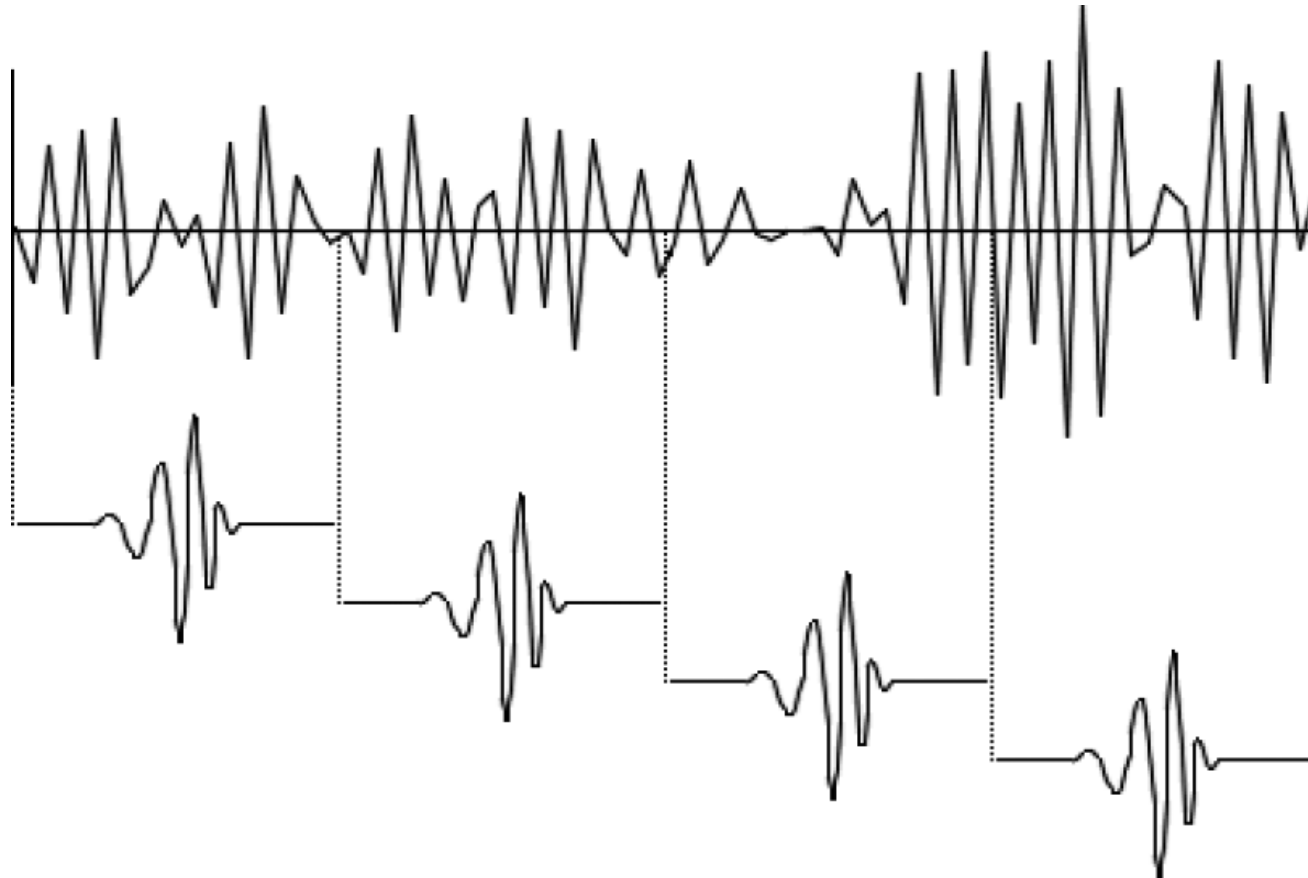


Un segnale non stazionario e la sua trasformata di Fourier

# STFT



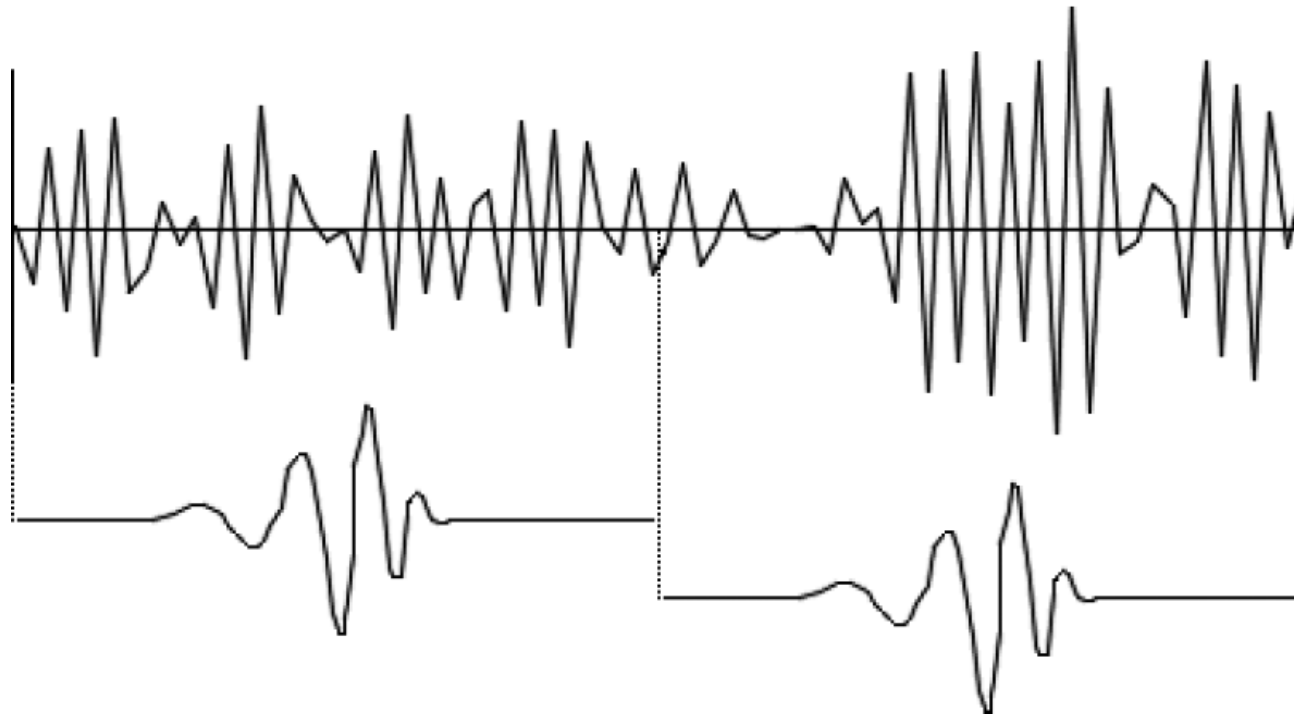
# DWT



Scale-shifting process

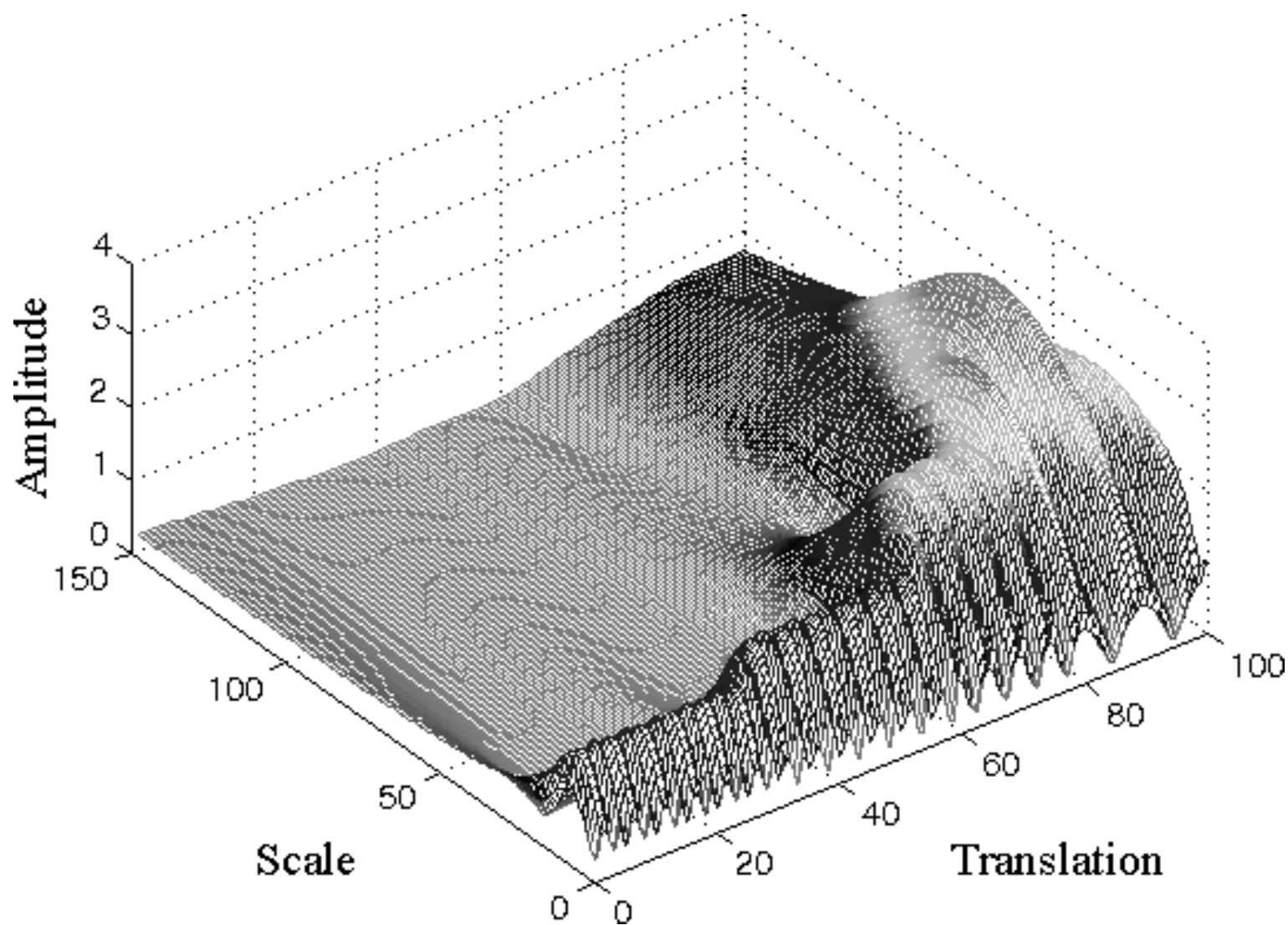


# DWT



Scale-shifting process

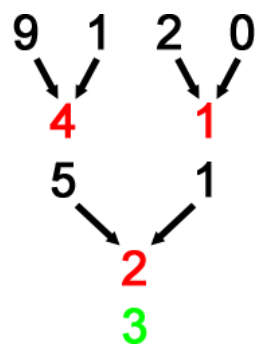
# DWT



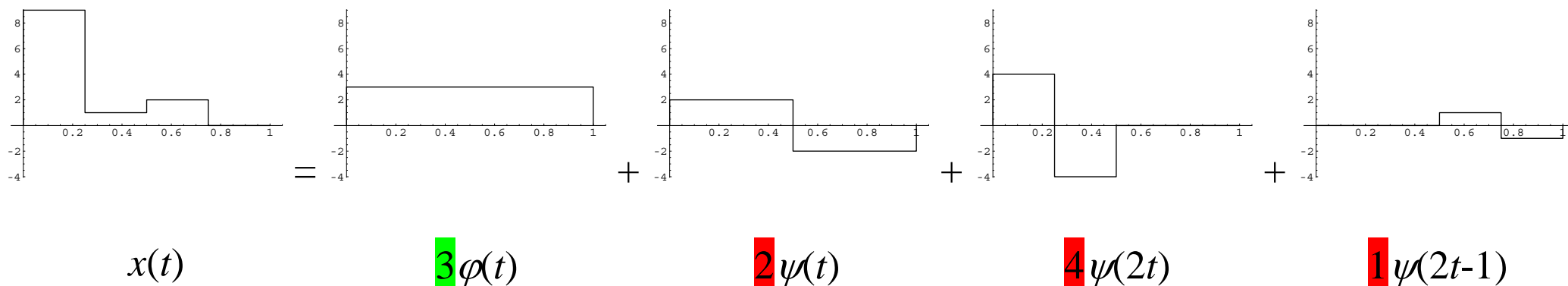
Trasformata wavelet del precedente segnale composto

# Haar

La prima trasformata wavelet è stata introdotta da Haar (1909) e si presta bene all'analisi di segnali ad onda quadra. Inoltre, è veloce da realizzare poiché si basa solo su semisomme e semidifferenze.



$$\varphi(t) = \begin{cases} 1 & 0 \leq t < 1, \\ 0 & \text{otherwise.} \end{cases} \quad \psi(t) = \begin{cases} 1 & 0 \leq t < 1/2, \\ -1 & 1/2 \leq t < 1, \\ 0 & \text{otherwise.} \end{cases}$$



Esempio di trasformata di Haar

# Haar

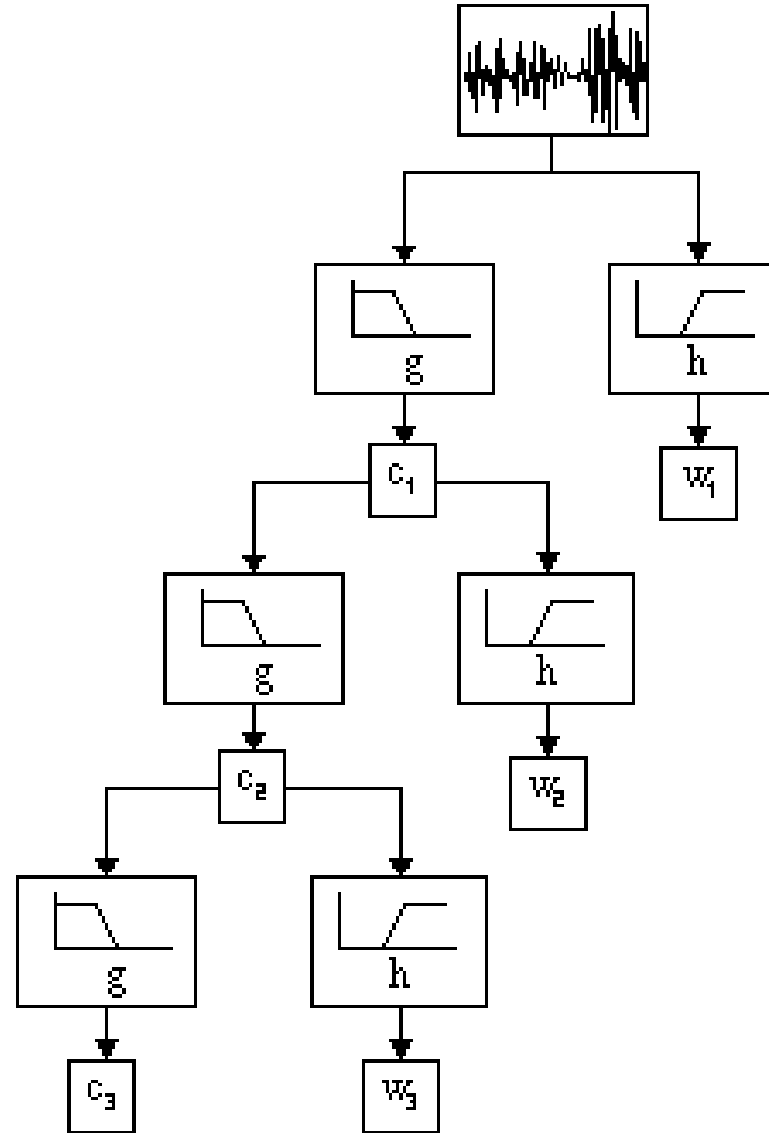
$$\frac{1}{4} \begin{pmatrix} 1 & 1 & 1 & 1 \\ 1 & 1 & -1 & -1 \\ 2 & -2 & 0 & 0 \\ 0 & 0 & 2 & -2 \end{pmatrix} \begin{pmatrix} 9 \\ 1 \\ 2 \\ 0 \end{pmatrix} = \begin{pmatrix} 3 \\ 2 \\ 4 \\ 1 \end{pmatrix}$$

The Haar matrix multiplication

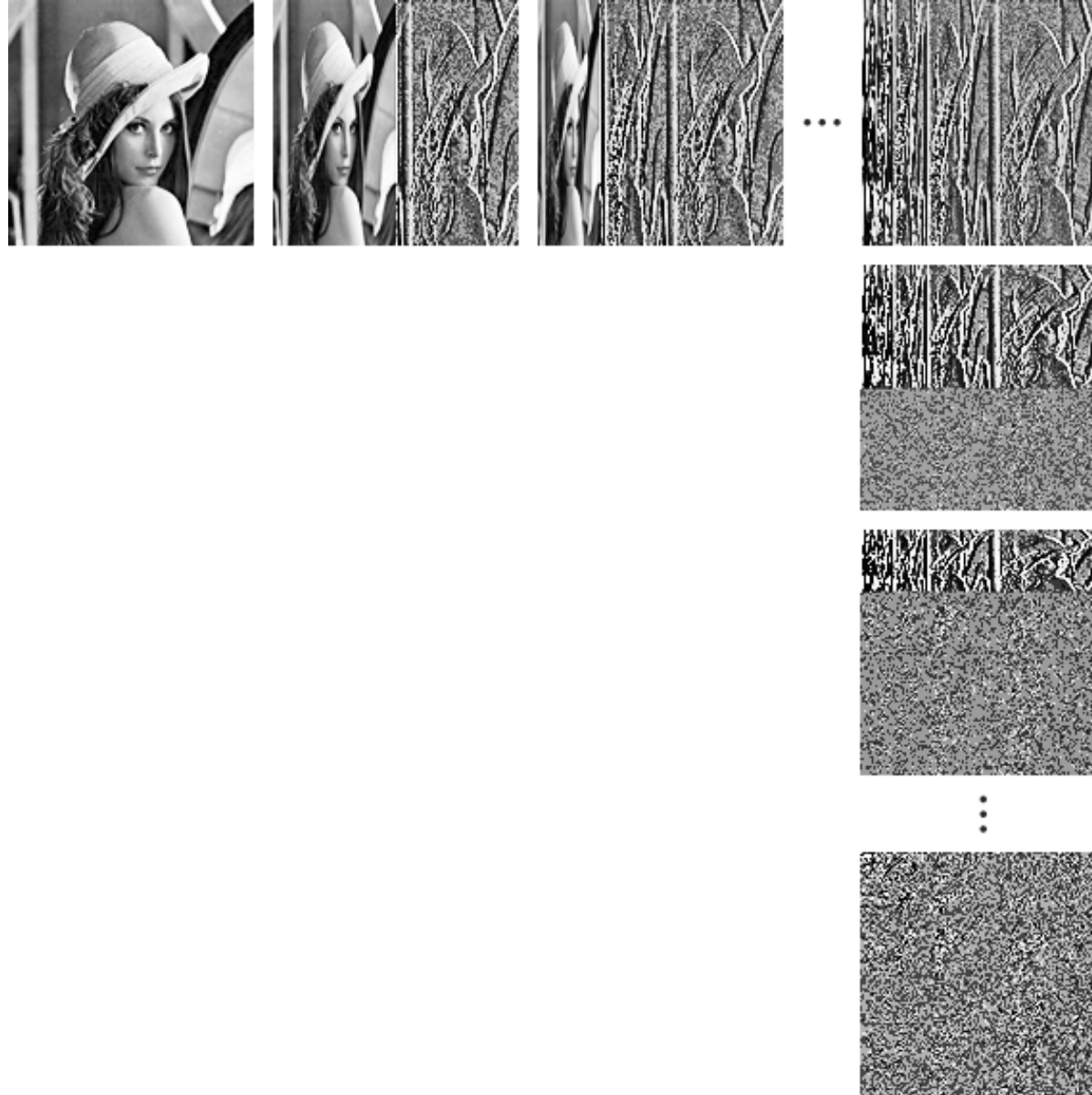
$$\begin{pmatrix} 1 & 1 & 1 & 0 \\ 1 & 1 & -1 & 0 \\ 1 & -1 & 0 & 1 \\ 1 & -1 & 0 & -1 \end{pmatrix} \begin{pmatrix} 3 \\ 2 \\ 4 \\ 1 \end{pmatrix} = \begin{pmatrix} 9 \\ 1 \\ 2 \\ 0 \end{pmatrix}$$

Esempio di scomposizione matriciale della trasformata di Haar

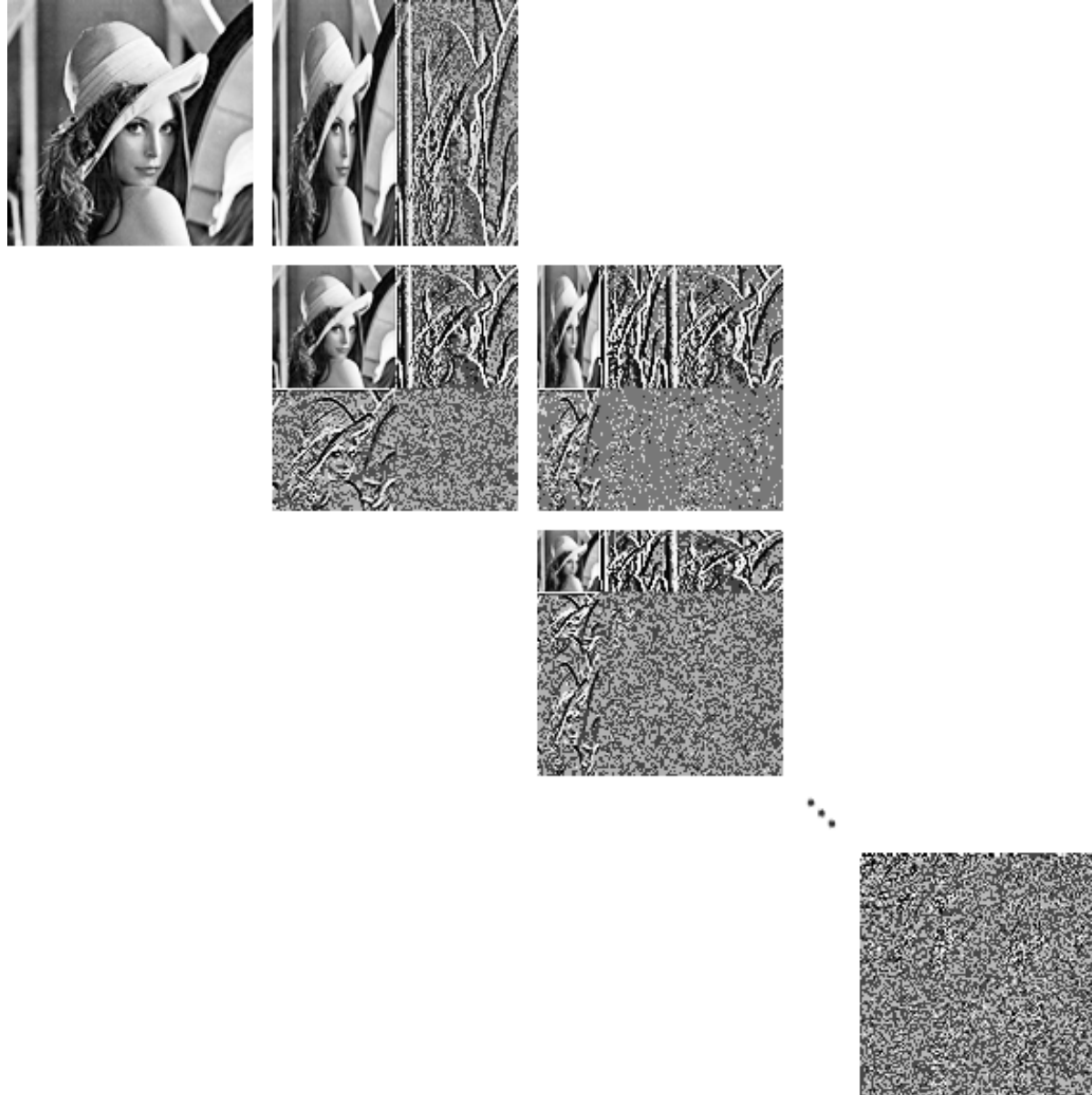
# Filter Bank



# Decomposizione standard



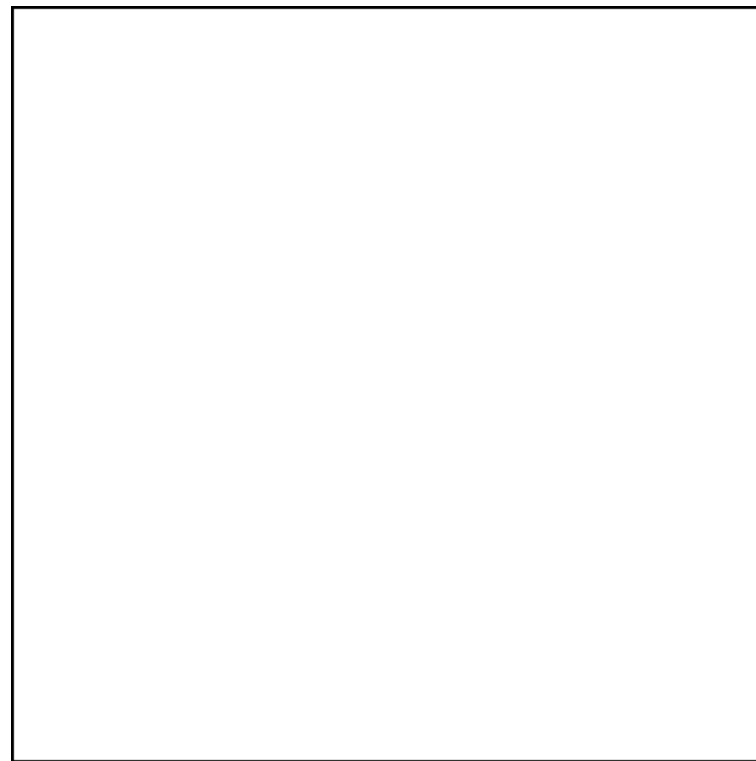
# Decomposizione non standard



# Analisi multirisoluzione (MRA)

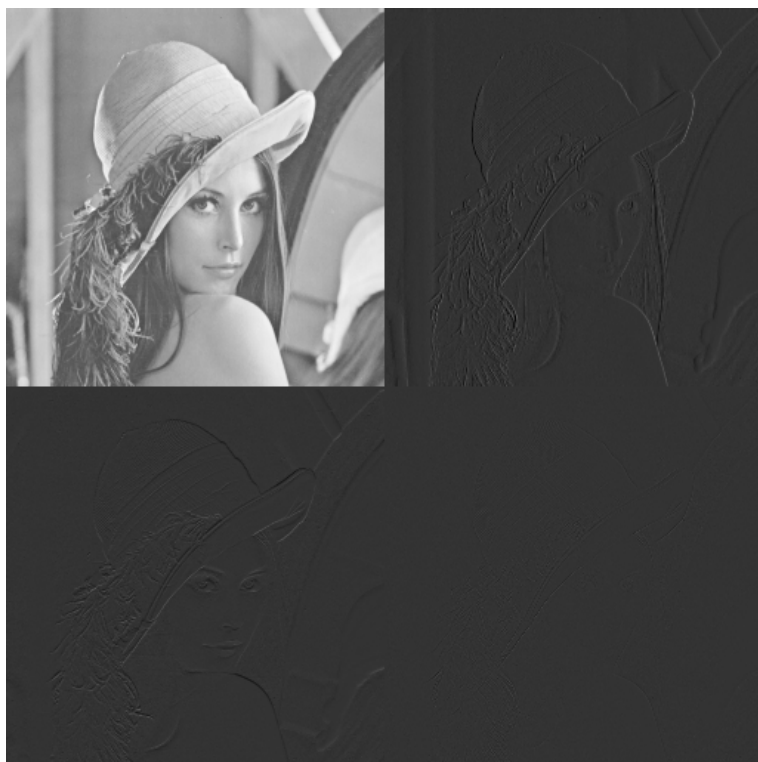


Level 0





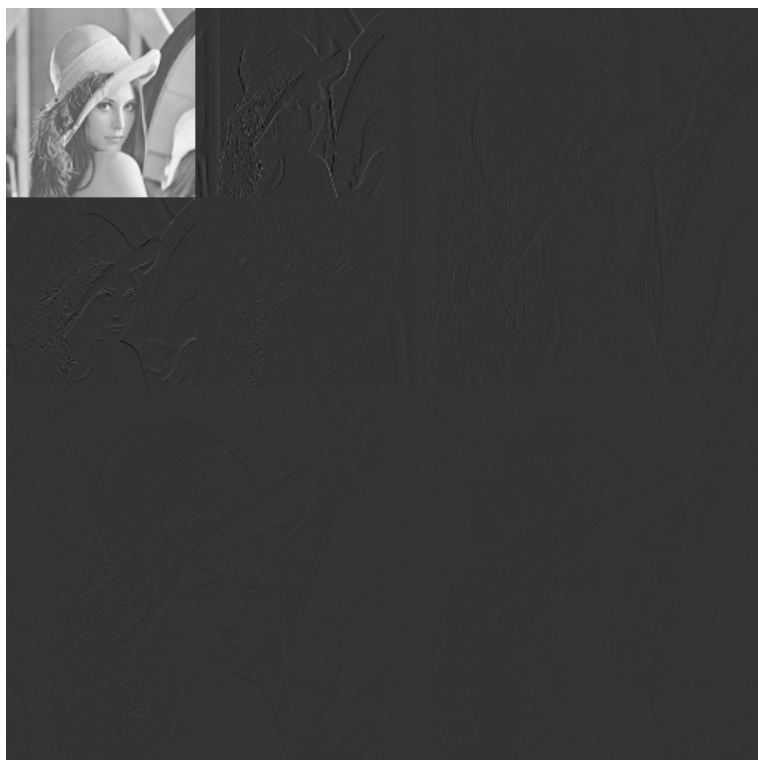
# Analisi multirisoluzione (MRA)



Level 1

LL	HL
LH	HH

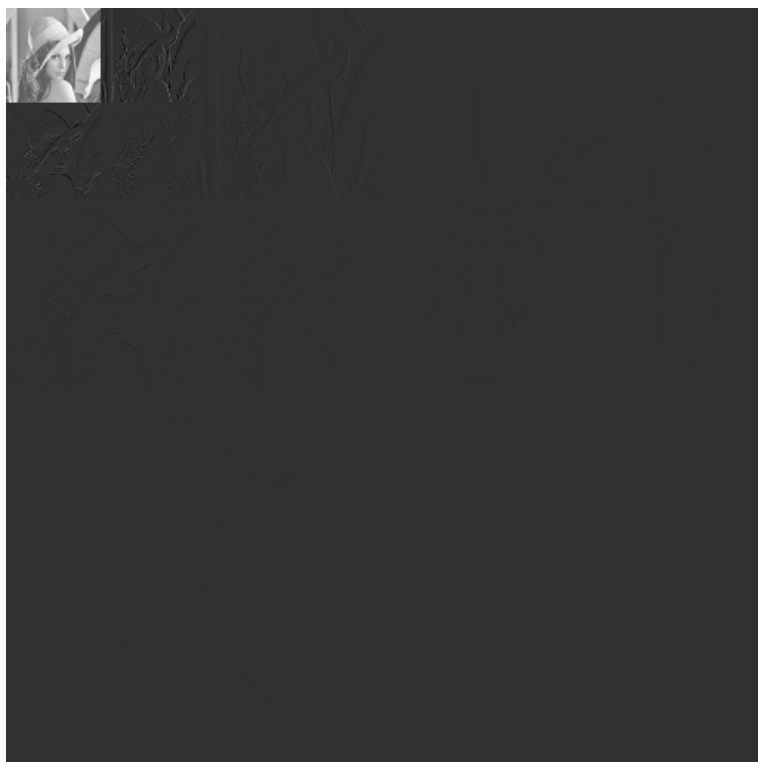
# Analisi multirisoluzione (MRA)



Level 2

LL	HL	<b>HL</b>
LH	HH	
<b>LH</b>		<b>HH</b>

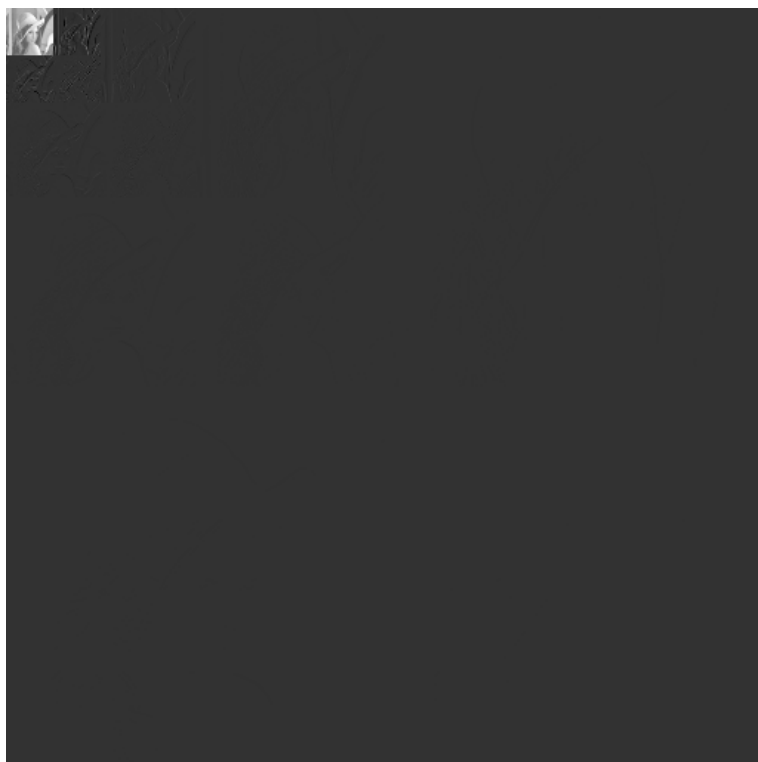
# Analisi multirisoluzione (MRA)



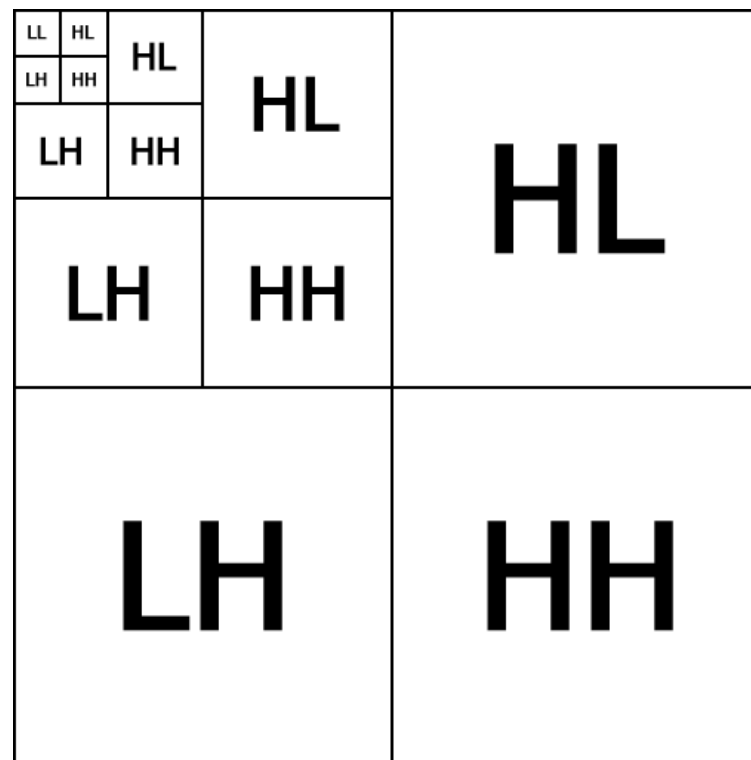
Level 3

LL	HL	HL	HL
LH	HH		
LH		HH	HH
LH		HH	

# Analisi multirisoluzione (MRA)



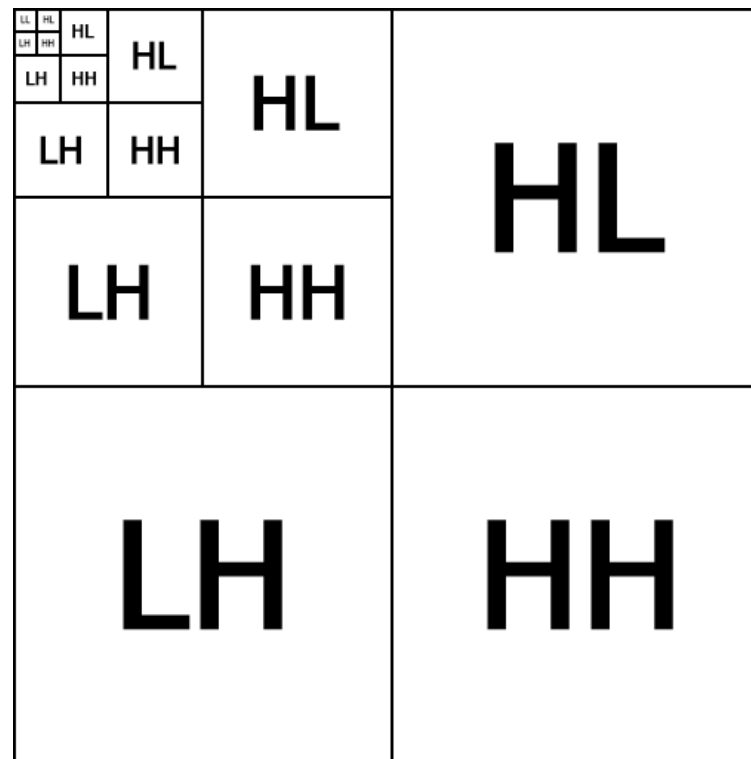
Level 4



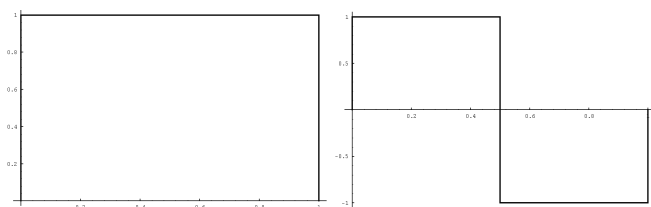
# Analisi multirisoluzione (MRA)



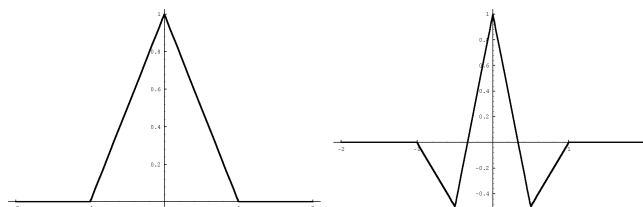
Level 5



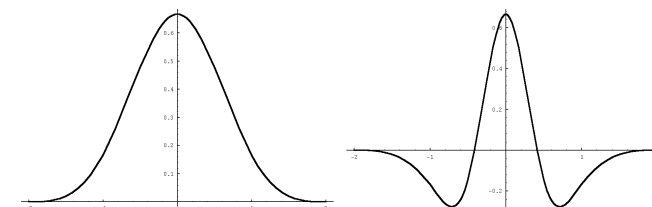
# Funzioni di scalatura e wavelet madri



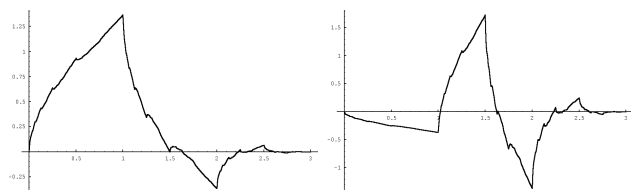
Haar scaling function  $\varphi$  and wavelet  $\psi$ .



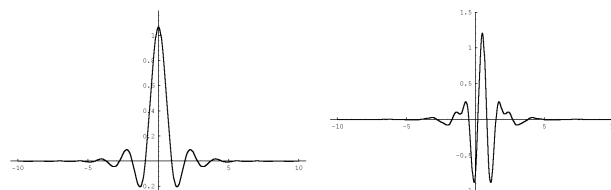
B<sub>1</sub>-spline scaling function  $\varphi$  and wavelet  $\psi$ .



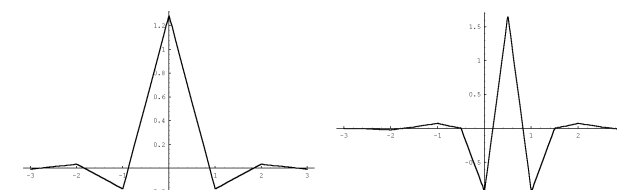
B<sub>3</sub>-spline scaling function  $\varphi$  and wavelet  $\psi$ .



Daubechies scaling function  $\varphi$  and wavelet  $\psi$ .



Meyer scaling function  $\varphi$  and wavelet  $\psi$ .



Battle-Lemarié scaling function  $\varphi$  and wavelet  $\psi$ .

*À trous*

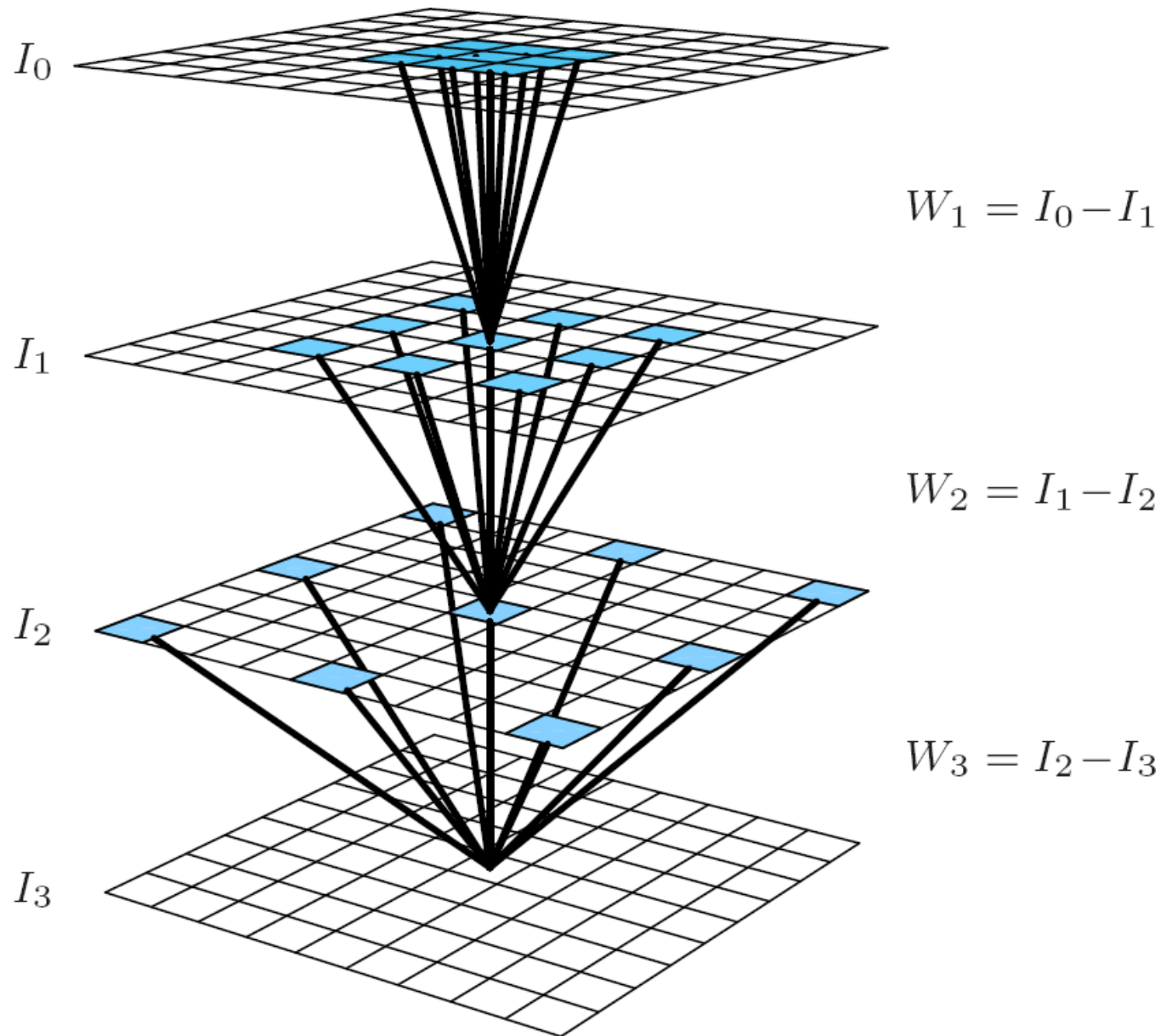
$$I_0(\mathbf{p}) = I(\mathbf{p})$$

$$I_i(\mathbf{p}) = I_{i-1}(\mathbf{p}) \otimes \ell_i$$

$$W_i(\mathbf{p}) = I_{i-1}(\mathbf{p}) - I_i(\mathbf{p})$$

$$\ell_i(2^{i-1}\mathbf{q}) = \ell(\mathbf{q})$$

# *À trous*



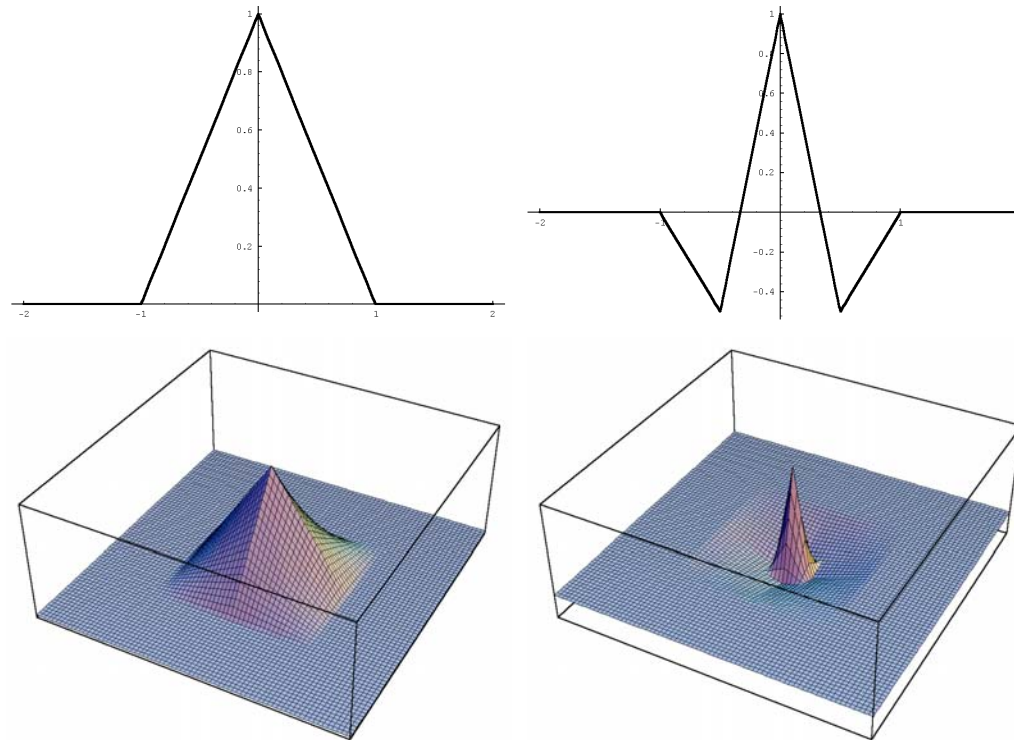


## Funzioni di scalatura e wavelet madri

$$B_s(z) = \frac{1}{2^s!} \sum_{t=0}^{s+1} (-1)^t \binom{t}{s+1} \left| z + t - \frac{s+1}{2} \right|^s$$

# Funzioni di scalatura e wavelet madri

$$B_1(x) = \frac{1}{2} \left( |x-1| - 2|x| + |x+1| \right)$$



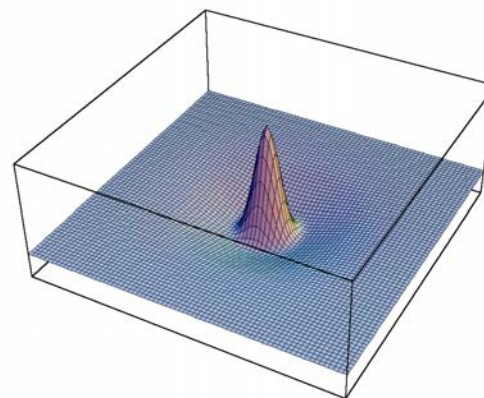
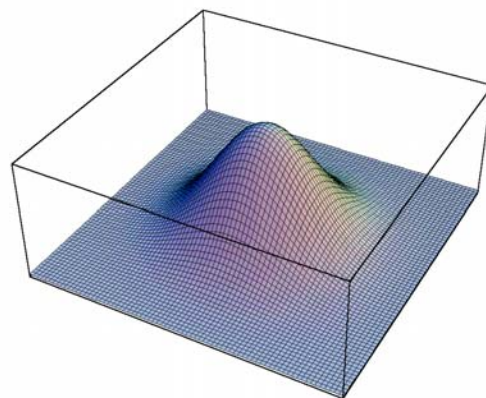
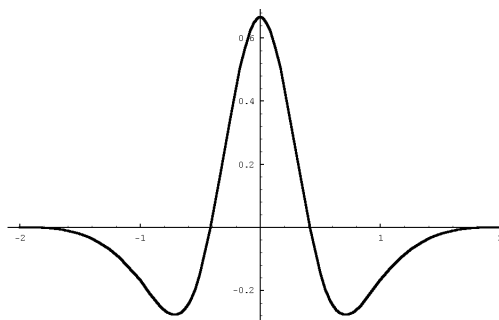
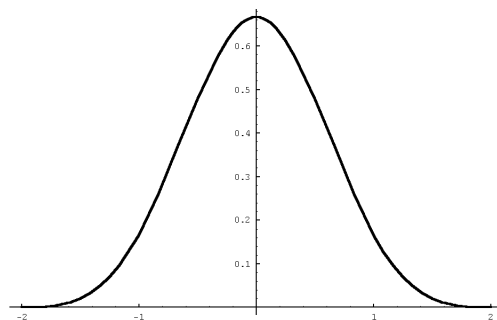
*B<sub>1</sub>-spline scaling function  $\phi$  and wavelet  $\psi$*

# Funzioni di scalatura e wavelet madri

$$\ell = \frac{1}{16} \begin{bmatrix} 1 & 2 & 1 \\ 2 & 4 & 2 \\ 1 & 2 & 1 \end{bmatrix}$$
$$\ell = \frac{1}{16} \begin{bmatrix} 1 \\ 2 \\ 1 \end{bmatrix} \begin{bmatrix} 1 & 2 & 1 \end{bmatrix}$$

# Funzioni di scalatura e wavelet madri

$$B_3(x) = \frac{1}{12} \left( |x-2|^3 - 4|x-1|^3 + 6|x|^3 - 4|x+1|^3 + |x+2|^3 \right)$$



*B*<sub>3</sub>-spline scaling function  $\varphi$  and wavelet  $\psi$

# JPG vs JPG2000



JPG (bpp = 0.3;  $MSE = 150$ ;  $PSNR = 26.2$ )



JPG2K (bpp = 0.3;  $MSE = 73$ ;  $PSNR = 29.5\text{dB}$ )

# JPG vs JPG2000



JPG (bpp = 0.2;  $MSE = 320$ ;  $PSNR = 23.1\text{dB}$ )



JPG2K (bpp = 0.2;  $MSE = 113$ ;  $PSNR = 27.6\text{dB}$ )